

STUDIUL DIORTILOR

1. Scopul lucrării :

- studiul formalismelor de descriere a diortilor
- studiul parametrilor caracteristici diortilor
- verificarea teoremei bisectiunii (Bartlett)

2. Introducere teoretică

2.1 Formalisme asociate unui diort

Pentru a descrie un diort (fig. 1), indiferent de circuitul la care este conectat, trebuie precizate două relații între cele patru mărimi U_1, I_1, U_2, I_2 considerate amplitudini complexe (fazori). Funcție de alegerea perechilor de mărimi considerate de intrare respectiv de ieșire există următoarele formalisme :

a) formalismul impedantă

$$(1) \begin{bmatrix} U_1 \\ U_2 \end{bmatrix} = \begin{bmatrix} z_{11} & z_{12} \\ z_{21} & z_{22} \end{bmatrix} \begin{bmatrix} I_1 \\ I_2 \end{bmatrix}$$

b) formalismul admitantă

$$(2) \begin{bmatrix} I_1 \\ I_2 \end{bmatrix} = \begin{bmatrix} y_{11} & y_{12} \\ y_{21} & y_{22} \end{bmatrix} \begin{bmatrix} U_1 \\ U_2 \end{bmatrix}$$

c) formalismul de transmisie

d) formalismul de transmisie inversă

$$(3) \begin{bmatrix} U_1 \\ I_1 \end{bmatrix} = \begin{bmatrix} t_{11} & t_{12} \\ t_{21} & t_{22} \end{bmatrix} \begin{bmatrix} U_2 \\ -I_2 \end{bmatrix}$$

$$(4) \begin{bmatrix} U_2 \\ I_2 \end{bmatrix} = \begin{bmatrix} a_{11} & a_{12} \\ a_{21} & a_{22} \end{bmatrix} \begin{bmatrix} U_1 \\ -I_1 \end{bmatrix}$$

e) formalismul hibrid

$$(5) \begin{bmatrix} U_1 \\ I_2 \end{bmatrix} = \begin{bmatrix} h_{11} & h_{12} \\ h_{21} & h_{22} \end{bmatrix} \begin{bmatrix} I_1 \\ U_2 \end{bmatrix}$$

f) formalismul hibrid invers

$$(6) \begin{bmatrix} I_1 \\ U_2 \end{bmatrix} = \begin{bmatrix} g_{11} & g_{12} \\ g_{21} & g_{22} \end{bmatrix} \begin{bmatrix} U_1 \\ I_2 \end{bmatrix}$$

Se observă că există relațiile : $[Z]^{-1} = [Y]^{-1}$ și $[H]^{-1} = [G]^{-1}$, ceea ce exprimă dualitatea formalismelor respective.

Parametrii matriciali m_{ij} au semnificație fizică și se pot măsura. Ei reprezintă imitante sau funcții de transfer calculate în gol sau scurtcircuit.

Condițiile pentru ca un diort să fie reciproc respectiv simetric sunt date în tabelul 1.

Tabel 1

formalism »	[Z]	[Y]	[T]	[H].
reciproc	$z_{12}=z_{21}$	$y_{12}=y_{21}$	$\det T=1$	$h_{12}=-h_{21}$
simetric	$z_{11}=z_{22}$	$y_{11}=y_{22}$	$t_{11}=t_{22}$	$\det H=1$

2.2 Parametrii caracteristici diportului

2.2.1 Parametrii imagine

Conceptul de impedanță imagine generalizează noțiunea de adaptare cunoscută de la uniparti. Definiția lor este următoarea:

$$z_{01} = z_{in1} \Big|_{z_2=z_{02}} \quad z_{02} = z_{in2} \Big|_{z_1=z_{01}} \quad (7)$$

unde impedantele z_1 și z_2 sunt cele de sarcină la poarta 1 respectiv 2. Se pot deduce următoarele formule de calcul :

$$z_{01} = \sqrt{z_{in1gol} z_{in1sc}} \quad z_{02} = \sqrt{z_{in2gol} z_{in2sc}} \quad (8)$$

$$z_{01} = \sqrt{t_{11} t_{12} / t_{22} t_{21}} \quad z_{02} = \sqrt{t_{12} t_{22} / t_{11} t_{21}} \quad (9)$$

de unde se observă că impedanța imagine depinde doar de diport.

Exponentul de transfer pe imagini (g) se determină pe un diport adaptat pe imagini (fig 2).

$$\text{Relația de definitie este : } S_1 = S_2 \cdot \exp[2g] \quad (10)$$

unde S_1 este puterea aparentă absorbită de diport iar S_2 cea din sarcină. Se deduc următoarele relații de calcul :

$$g = \ln [\frac{U_1}{U_2} \cdot \sqrt{z_{02}/z_{01}}] \quad (11)$$

$$g = \ln [\sqrt{t_{11} t_{22}} + \sqrt{t_{12} t_{21}}] \quad (12)$$

Partea reală a lui g se numește atenuarea pe imagine și are expresia :

$$a = \operatorname{Re} \{g\} = \ln | \frac{U_1}{U_2} \cdot \sqrt{z_{02}/z_{01}} | \quad (13)$$

In aplicații este util să se determine efectul introducerii unui diport între un generator și o sarcină. Acest efect se evaluatează fără de un caz de referință funcție de alegerea căruia se obțin două seturi de parametrii.

2.2.2 Parametrii de lucru

Se determină pentru cazul de referință din figura 3a. Acești parametrii descriu efectul introducerii diportului în circuitul din figura 3b.

Se definește exponentul de transfer de lucru (g_c) conform următoarei relații :

$$S_0 = S_2 \cdot \exp[2g_c] \quad (14)$$

unde S_0 este puterea aparentă în sarcină în cazul de referință iar S_2 în cazul real. Se deduce relația de calcul :

$$g_c = \ln [\frac{U_0}{U_2} \cdot \sqrt{z_S/z_g}] \quad (15)$$

Se defineste atenuarea compusă ca partea reală a lui g_c :

$$a_c = \operatorname{Re} \{g_c\} = \ln | \underline{U}_0 / \underline{U}_2 | / \sqrt{\underline{z}_s / \underline{z}_g} \quad (16)$$

2.2.3 Parametrii de insertie

Se determină pentru cazul de referință din figura 4. Acești parametrii descriu efectul introducerii diportului în același circuit din figura 3b.

Se defineste exponentul de transfer de insertie (g_i) printr-o relație analoagă relației (14) :

$$S_{02} = S_2 \cdot \exp[2g_i] \quad (17)$$

unde S_{02} este puterea aparentă în sarcină în cazul de referință față de S_2 în cazul real. Se deduce relația de calcul :

$$g_i = \ln | \underline{U}_{02} / \underline{U}_2 | \quad (18)$$

Se defineste atenuarea de insertie conform următoarei relații :

$$a_i = \operatorname{Re} \{g_i\} = \ln | \underline{U}_{02} / \underline{U}_2 | \quad (19)$$

2.2.4 Relații de legătură între atenuări

a) atenuarea compusă

$$a_c = a + a_{n1} + a_{n2} + a_{12} \quad (20)$$

unde a_{n1} și a_{n2} reprezintă atenuările de neadaptare la portile 1 respectiv 2 și au următoarea expresie :

$$\begin{aligned} a_{n1} &= \ln | [z_g + z_{01}] / [2 \cdot \sqrt{z_g \cdot z_{01}}] | \\ a_{n2} &= \ln | [z_s + z_{02}] / [2 \cdot \sqrt{z_s \cdot z_{02}}] | \end{aligned} \quad (21)$$

iar a_{12} reprezintă atenuarea de interacțiune între intrare și ieșire, având expresia :

$$a_{12} = \ln | 1 - \sigma_1 \sigma_2 \cdot e^{-2g} | \quad (22)$$

σ_1 și σ_2 fiind coeficienții de reflexie la cele două porti :

$$\sigma_1 = [z_g - z_{01}] / [z_g + z_{01}] \quad \sigma_2 = [z_s - z_{02}] / [z_s + z_{02}] \quad (23)$$

b) atenuarea de insertie

$$a_i = a_c - \ln | [z_g + z_s] / [2 \cdot \sqrt{z_g z_s}] | \quad (24)$$

2.2.5 Unități de măsură

Se numește nivel relativ mărimea

$$N = 0.5 \cdot \ln [P/P_{ref}] = \ln [U/U_{ref}] = \ln [I/I_{ref}] \quad (25)$$

și se exprimă în Np (neperi).

Mărimele de referință sănt următoarele :

$$P_{ref} = \begin{cases} 1 \text{ mW putere reală} \\ 1 \text{ mVA putere aparentă} \end{cases} \quad (26)$$

iar U_{ref} și I_{ref} sănt astfel alese încit pe o rezistență de referință de 600Ω să conducă la P_{ref} . Se obtin valorile :

$$U_{ref}=775 \text{ mV} \quad I_{ref}=1.293 \text{ mA} \quad (27)$$

Legătura între N_p si dB este următoarea :

$$1 N_p = 8.68 \text{ dB} \quad 1 \text{ dB} = 0.115 N_p \quad (28)$$

2.3 Teorema bisectiunii (Bartlett)

Această teoremă permite echivalarea unui dipot simetric cu unul în punte (în X) conform figurii 5 si 6.

Dipotul în punte echivalent este cel din figura 7.

Parametrii Z pentru un asemenea dipot au următoarea expresie :

$$\begin{aligned} Z_{11} &= Z_{22} = 0.5 \cdot [z_a + z_b] \\ Z_{12} &= Z_{21} = 0.5 \cdot [z_b - z_a] \end{aligned} \quad (29)$$

3. Desfăsurarea lucrării

Aparate necesare

- generator de semnal Versatester
- multimetru digital
- cutie de rezistente decadice

Măsurători efectuate

Generatorul de semnal se utilizează pe forma de undă sinusoidală cu frecvență între 1 si 2 kHz. Se va avea grijă ca tensiunea efectivă pe dipot să nu depăsească 15 V pentru a nu suprasolicita termic rezistoarele. Dipotul măsurat are schema din figura 8 și este descris de relațiile :

$$\begin{aligned} R_1 \cdot R_2 &= R^2 \\ R_1 &= R(e^a - 1) \end{aligned} \quad (30)$$

- Se construiește dipotul D din cele două semidiporturi D' conform figurii 9.
- Se determină elementele dipotului : R, R_1, R_2 . Se măsoară valorile rezistențelor aditionale R_a .
- Se măsoară elementele formalismului impedanță (rel. 1) pe schema din figura 9. Rezistențele aditionale R_a servesc la măsurarea curentului prinț-o metodă indirectă, măsurând cădereea de tensiune pe ele. Valorile R_a sănt suficient de mici pentru a nu perturba măsurătorile de scurtcircuit. Generatorul se utilizează pe ieșirea de 50Ω . Rezultatele se trec în tabelul 3.

Tabel 3

$I_1=0$			$I_2=0$		
$U_1(V)$	$U_2(V)$	$I_2(mA)$	$U_1(V)$	$U_2(V)$	$I_1(mA)$

- d) Se măsoară elementele formalismului admitantă (rel. 2).
Rezultatele se trec în tabelul 4.

Tabel 4

$U_1=0$			$U_2=0$		
$U_2(V)$	$I_1(mA)$	$I_2(mA)$	$U_1(V)$	$I_1(mA)$	$I_2(mA)$

- e) Se măsoară elementele formalismului de transmisie (rel. 3).
Rezultatele se trec în tabelul 5.

Tabel 5

$I_2=0$			$U_2=0$		
$U_1(V)$	$U_2(V)$	$I_1(mA)$	$U_1(V)$	$I_1(mA)$	$I_2(mA)$

- f) Se măsoară elementele formalismului hibrid (rel. 5).
Rezultatele se trec în tabelul 6.

Tabel 6

$I_1=0$			$U_2=0$		
$U_1(V)$	$U_2(V)$	$I_2(mA)$	$U_1(V)$	$I_1(mA)$	$I_2(mA)$

- g) Se calculează pe baza rezultatelor din tabelele 3,4,5,6 elementele formalismelor corespunzătoare. Se completează tabelul 7.

Tabel 7

element »	11	12	21	22	det
[Z]					---
[Y]					---
[T]					
[H]					

- h) Se verifică cu cele patru formalisme faptul că diportul este reciproc și simetric.

- i) Cu parametrii T se calculează impedantele imagine (rel. 9).
j) Se verifică corectitudinea valorilor anterior determinate fără măsurători conform definitiei (rel. 7). Impedantele Z_1 și Z_2 se simulează cu o cutie decadică.
k) Se măsoară atenuarea pe imagine de la poarta 1 la poarta 2 pe diportul adaptat pe imagini (fig. 2). Impedanța Z_{01} se simulează cu impedanța internă a Versatest-ului. De aceea generatorul se va utiliza pe ieșirea de 600Ω . Impedanța Z_{02} este o cutie decadică. Măsurătoarea se va face pe baza relației 13.
Rezultatele se trec în tabelul 8.

$U_1(V)$	$U_2(V)$	$a_{exp}(Np)$	$a_{teor}(Np)$

Tabel 8

- l) Se verifică valoarea găsită cu relația 12.
m) Se măsoară atenuarea compusă pe schema din figurile 3a și 3b. Se alege $Z_g=50\Omega$ și $Z_s=10k\Omega$. Impedanța Z_g se simulează tot cu rezistența internă a Versatest-ului iar Z_s cu o cutie decadică. Determinările se fac pe baza relației 16.
Rezultatele se trec în tabelul 9.

$U_0(V)$	$U_2(V)$	$a_{cexp}(Np)$	$a_{cteor}(Np)$

Tabel 9

- n) Se verifică valoarea găsită cu relația 20.
o) Se reiau determinările de la punctele m) și n) pentru $Z_g=600\Omega$. Se completează tabelul 9', analog tabelului 9. Se observă efectul adaptării la o poartă a diportului ($Z_g=600\Omega$) !
p) Se măsoară atenuarea de inserție pe schema din figurile 4 și 3b pentru $Z_g=600\Omega$ și $Z_s=10k\Omega$. Determinările se fac pe baza relației 19. Rezultatele se trec în tabelul 10.

$U_{02}(V)$	$U_2(V)$	$a_{iexp}(Np)$	$a_{iteor}(Np)$

Tabel 10

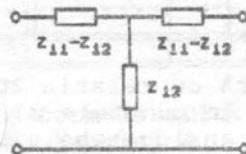
- q) Se verifică valoarea găsită cu relația 24 utilizând pentru a_c valoarea teoretică.
r) Se reiau determinările de la punctele p) și q) pentru $Z_s=600\Omega$. Se completează tabelul 10', analog tabelului 10. Explicați rezultatul obținut !
s) Se aplică teorema bisectiunii diportului D știind că este un diport simetric format din două diporturi identice D'. Se măsoară elementele diportului în punte echivalent, Z_a și Z_b .
t) Se desenează diportul în punte echivalent.
u) Pe acest diport în punte se calculează parametrii z utilizând relațiile 29.
v) Se verifică teorema bisectiunii comparând valorile z_{11} și z_{12} ale diportului initial (tabelul 7) cu cele ale diportului în punte. Se completează tabelul 11.

diport »	original	în punte
z_{11}		
z_{12}		

Tabel 11

4. Intrebări

- a) De ce sînt posibile doar 6 formalisme de descriere a diportilor ?
- b) Ce înseamnă reciprocitatea respectiv simetria unui diport din punct de vedere fizic ? Dati un exemplu de diport nereciproc !
- c) Precizati care dintre atenuările următoare depind de diport, de circuitul extern, de ambele : atenuarea pe imagini, atenuarea compusă, atenuarea de insertie.
- d) Care este importanța unitătilor de măsură logaritmice (Np, dB) ?
- e) Ce condiție matematică trebuie să satisfacă rezistența R_a pentru a nu perturba în mod semnificativ măsurătorile ?
- f) Care este importanța diportului în punte ?
- g) Fie retea dublu T. Construind diportul în punte echivalent și de aici calculind parametrii Z să se determine condiția de funcționare ca filtru rejector, stiind că un diport simetric și reciproc are schema echivalentă din figura de mai jos :



- h) Care este matricea $[Z]$ pentru doi diporti în serie ?
- i) Care este matricea $[Y]$ pentru doi diporti în derivativă ?
- j) Care este matricea $[T]$ pentru doi diporti în cascadă ?

5. Continutul referatului

- măsurătorile efectuate însotite de rezultate (tabelate unde se cere)
- schema circuitelor pe care se face măsurarea
- formulele de calcul utilizate
- observațiile cerute la diferitele subpunkte
- eventualele observații și comentarii personale
- răspunsul la întrebări

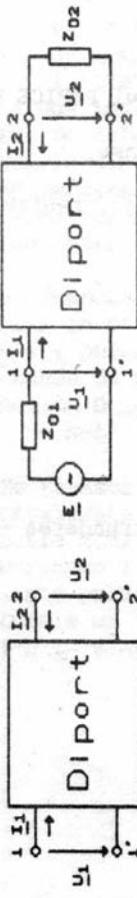


fig. 1

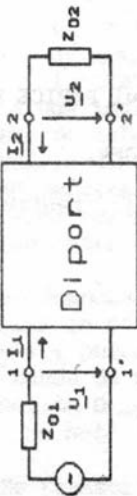


fig. 2

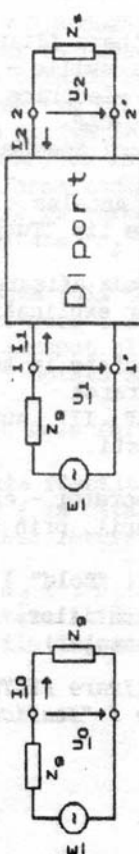


fig. 3a

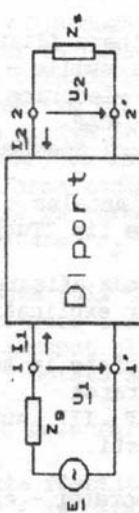


fig. 3b

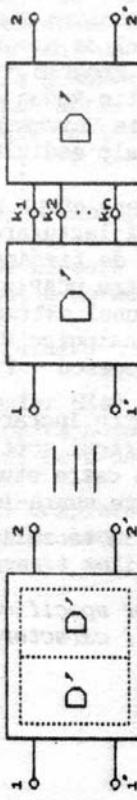


fig. 5

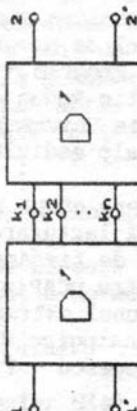


fig. 6

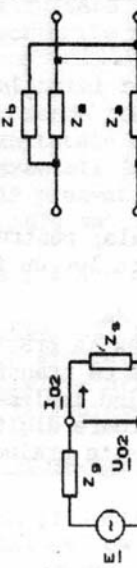


fig. 4

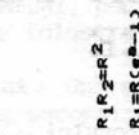


fig. 7

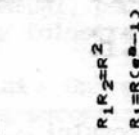


fig. 8

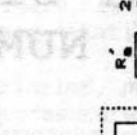


fig. 9

Universitatea TRANSILVANIA Brasov
titlu:
Laborator de ANALIZA SI SINTEZA CIRCUITELOR
Size document Number
A
data:
Studiu dioprtilor
data: July 1, 1994 Etapest 1 of